

信州大学工学部

学士論文

待ち行列システムにおける情報鮮度の  
時間平均の実験的検証

指導教員 西新 幹彦 准教授

学科 電気電子工学科  
学籍番号 15T2063K  
氏名 千葉 直紀

2019年2月21日

## 目次

1	はじめに	1
2	準備	1
2.1	伝送モデル . . . . .	1
2.2	情報鮮度の性質 . . . . .	2
3	情報鮮度の時間平均の測定	3
3.1	情報鮮度の時間平均の導出式 . . . . .	3
3.2	情報鮮度の測定方法 . . . . .	4
3.3	測定結果 . . . . .	4
3.4	考察 . . . . .	5
4	まとめと今後の課題	7
	謝辞	8
	参考文献	8
付録 A	ソースコード	9
A.1	情報鮮度の時間平均を測定するプログラム . . . . .	9

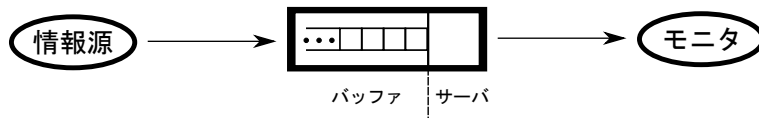


図1 伝送システム

## 1 はじめに

河川の水位をカメラで観測し遠隔地のモニタへ映し出すといった場合などでは、モニタが最新の情報を映す必要がある。しかし、モニタに表示されている情報は伝送路を通して送信されるためカメラでサンプリングしてから時間が経過している。情報が情報源から出力されてからの経過時間をその情報の年齢という。本研究では、ある時点でモニタ表示されている情報の年齢をその時点の AoI(Age of Information) と呼ぶことにする。AoI は小さいことが望ましい。このように、AoI に着目した問題を情報鮮度の問題という。情報鮮度の考え方が提示される前は、情報を多く送受信できるかどうかに着目されていた。しかし、情報を送信しても伝送路で処理しきれず最新の情報を表示できないということも考えられる。情報鮮度の問題では、送信される情報の量ではなく経過時間という尺度で見ることによって表示されている情報がどれだけ新しいかということを考察の対象にする。本研究では、ポアソン過程にしたがって情報が出力される情報源に対する AoI の時間平均を実験的に求めた。本論文は次のような章から構成される。2 章では本研究で取り扱う伝送モデル、情報鮮度の定義、情報鮮度の評価方法について述べる。3 章では情報鮮度の時間平均を測定する。また、待ち行列システムを用いて考察を行う。4 章に本研究のまとめと今後の課題を述べる。

## 2 準備

### 2.1 伝送モデル

本研究では、モニタに表示されている情報がサンプリングされてからの経過時間がサンプリングレートによりどのように変化するかに着目した。この経過時間は、サービスを待っている情報の数、すなわち伝送システムの混み具合に依存する。実際の伝送システムはネットワークなどの複雑な伝送システムとなっている。本研究では簡単化のためサーバは 1 つとして、情報源からサンプリングされた情報は、サンプリングされた順序でバッファに保持されており、順序通りにサーバで処理された情報がモニタに表示されているとする。このような伝送システムを図 1 に示す。図 1 の伝送システムで考える。情報は指数分布に従う時間間隔で情報源からサンプリングすると仮定しサンプリングレートを  $\lambda$  とする。サーバは指数分布に従う時間

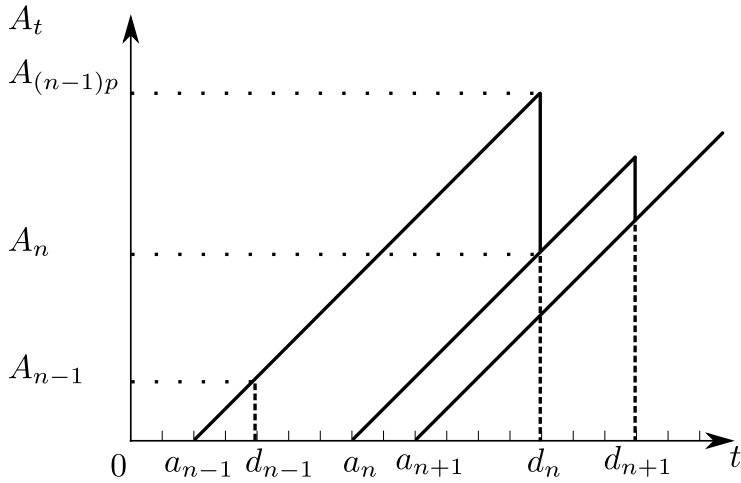


図2 情報鮮度の遷移図

間隔でサービスを行うと仮定しサービスレートを  $\mu$  とする．バッファが溢れないようにバッファのサイズは十分大きいとする．

## 2.2 情報鮮度の性質

時刻  $t$  にモニタに表示されている情報の AoI  $A_t$  は，その情報のサンプリング時刻を  $a$  とおくと，

$$A_t = t - a \quad (1)$$

と書ける．図2に AoI の時間変化の例を示す． $n-1$  番目にサンプリングされた情報  $x_{n-1}$  がサンプリング時刻  $a_{n-1}$  でバッファに保持される． $a_{n-1}$  から時間が経過すると情報  $x_{n-1}$  の AoI が増加していき，情報は古くなる．時刻  $d_{n-1}$  にサーバの処理が終了するとモニタに情報  $x_{n-1}$  が表示される．情報  $x_{n-1}$  が表示された瞬間の AoI の値は，

$$A_{n-1} = d_{n-1} - a_{n-1} \quad (2)$$

と書ける．次に  $n$  番目にサンプリングされた情報  $x_n$  が時刻  $a_n$ ， $n+1$  番目にサンプリングされた情報  $x_{n+1}$  が時刻  $a_{n+1}$  にそれぞれサンプリングされた時刻順でバッファに保持される．情報  $x_n$  と情報  $x_{n+1}$  の AoI は独立に増加していく．ここで時刻  $d_n$  に注目する．この時，直前までモニタに表示されていた情報は更新されて，情報  $x_n$  がモニタに表示される．モニタに表示されている情報の AoI の値が小さくなり，情報が新しくなる．情報がサンプリングされてモニタに表示，新しい情報に更新といった動作を繰り返し，図2のノコギリ状のグラフが得られる．

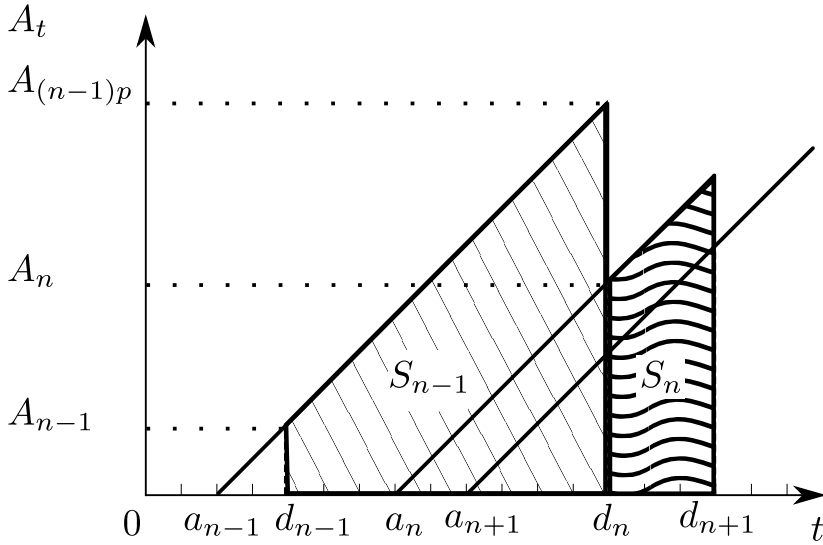


図3 AoIの時間平均導出

### 3 情報鮮度の時間平均の測定

AoIの評価方法には、更新される直前のピークAoIがある目標値以下にとどまっている時間割合で評価する方法や、AoIを計測時間の時間平均で評価する方法などがある。本研究ではAoIを時間平均で評価する方法を採用した。

#### 3.1 情報鮮度の時間平均の導出式

観測時間  $T$  のAoIの時間平均を  $A_{ave}$  とすると、

$$A_{ave} = \frac{1}{T} \int_0^T A_t dt \quad (3)$$

と書ける。本研究では図3のグラフから  $A_{ave}$  は、

$$A_{ave} = \frac{1}{T} \sum_{n=1}^l S_n \quad (4)$$

$$S_n = \frac{1}{2} \{ (d_{n+1} - a_n)^2 - (d_n - a_n)^2 \} \quad (5)$$

と書ける。ここで、 $S_n$  は情報  $x_n$  のAoIをモニタに表示された時刻  $d_n$  から更新された時刻  $d_{n+1}$  までの時間で囲んだ台形面積であり、 $l$  は観測時間  $T$  で最後に表示された情報がサンプリングされた順序 ( $l$  番目) である。

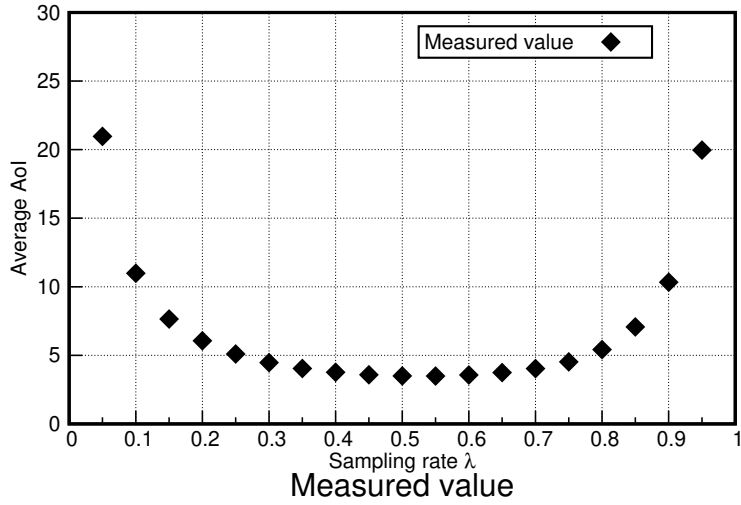


図4 AoIの時間平均 測定結果

### 3.2 情報鮮度の測定方法

図1で示した伝送システムに基づいて情報源のサンプリングレートを変化させモニタに表示されている情報のAoIの時間平均を測定するシミュレーション実験を行った。測定は時刻 $t$ が十分大きくなるように100万となるまで測定を行った。サンプリングはレート $\lambda$ のポアソン到着として、レート $\lambda$ を0.05から1.0まで変化させた。サービス時間はパラメータ $\mu$ の指数分布として、パラメータ $\mu = 1.0$ で固定した。観測時間は、最初の情報 $x_1$ がモニタに表示された時刻 $d_1$ から最後の情報 $x_l$ が更新される時刻 $d_{l+1}$ までとした。

### 3.3 測定結果

パラメータ $\lambda$ を変化させたときの $A_{ave}$ の測定結果を図4に示す。全体は、U字型の下に凸な傾向がみられた。図4のようなU字型グラフとなった理由を考察する。ここで、サンプリング間隔の期待値 $E[G]$ は、

$$E[G] = \frac{1}{\lambda} \quad (6)$$

と書ける。また、モニタに表示された情報がサーバでの処理に掛かったサービス時間の期待値 $E[H]$ は、

$$E[H] = \frac{1}{\mu} \quad (7)$$

と書ける。まず、 $\lambda$  が小さい場合を考える。式 (6) からサンプリング間隔は長くなる。そのため情報の更新がなかなか起こらないためモニタに表示されている情報の AoI が大きくなると考えられる。次に、 $\lambda$  が大きい場合を考える。式 (6) からサンプリング間隔は短くなる。バッファに情報が到着するが、サーバの処理が追い付かない場合バッファでの待ち時間が長くなるためモニタに表示される情報の即時性が保てなくなり AoI が大きくなると考えられる。

### 3.4 考察

測定結果の図 4 となる理由を文献 [1][2][3] に基づいて考察していく。文献 [1] から時間平均 AoI の期待値  $E[A]$  は待ち行列システムにおける遅延時間から導出できることがわかっている。遅延時間  $D_n$  を情報  $x_n$  が時刻  $a_n$  にサンプリングされてから時刻  $d_n$  にモニタに表示されるまでに掛かった時間として、

$$D_n = d_n - a_n \quad (8)$$

と書ける。また、 $D_n$  は情報  $x_n$  のバッファでの待ち時間  $W_n$  と情報  $x_n$  のサービス時間  $H_n$  を用いて、

$$D_n = W_n + H_n \quad (9)$$

とも書ける。この遅延時間  $D_n$  を待ち行列システムで考察する。

$D_n$  は情報  $x_n$  のサンプリング時刻  $a_n$  で、直前の情報  $x_{n-1}$  がすでにモニタに表示されているか、バッファで待機しているかで場合分けが必要になる。

まず、情報  $x_{n-1}$  がすでにモニタに表示されている場合を考える。情報  $x_{n-1}$  がモニタに表示される時刻  $d_{n-1}$  が  $a_n$  よりも早いといえる。この時情報  $x_{n-1}$  の遅延時間  $D_{n-1}$  と情報  $x_{n-1}$  と情報  $x_n$  のサンプリング間隔  $G_{n-1}$  の関係は、

$$\begin{aligned} D_{n-1} &\leq G_{n-1} & (10) \\ D_{n-1} &= d_{n-1} - a_{n-1} \\ G_{n-1} &= a_n - a_{n-1} \end{aligned}$$

と書ける。情報  $x_n$  はサンプリングされてからすぐにサーバで処理される。よってバッファ内の待ち時間  $W_n$  は、

$$W_n = 0 \quad (11)$$

となる。したがって  $D_n$  は、

$$D_n = H_n \quad (12)$$

と書ける。

次に、情報  $x_{n-1}$  がバッファで待機している場合を考える。  $D_{n-1}$  と  $G_{n-1}$  の関係は、

$$D_{n-1} \geq G_{n-1} \quad (13)$$

と書ける。情報  $x_n$  は情報  $x_{n-1}$  のサービスが終わるまでバッファ内で待機しなければならない。よってバッファ内の待ち時間  $W_n$  は

$$W_n = D_{n-1} - G_{n-1} \quad (14)$$

と書ける。したがって  $D_n$  は、

$$D_n = D_{n-1} - G_{n-1} + H_n \quad (15)$$

と書ける。式 (12)、式 (15) より  $D_n$  は、

$$D_{n+1} = \max(0, D_n - G_n) + H_{n+1} \quad (16)$$

という漸化式で表すことができる。  $G_n$  と  $H_n$  を独立な確率変数と仮定すると、  $D_n$  は式 (16) で定められる確率変数となる。文献 [3] から、一般に  $D_n$  と  $G_n$  は独立ではない。 ( $G_n$  が長いと  $D_n$  は短くなる傾向がある。) そこで、  $D_n G_n$  の期待値  $E[D_n G_n]$  を求める。  $E[D_n G_n]$  は、

$$\begin{aligned} E[D_n G_n] &= E[(W_n + H_n)G_n] \\ &= E[W_n G_n] + E[H_n]E[G_n] \end{aligned} \quad (17)$$

と書ける。システムの混み具合  $\rho$  は、

$$\begin{aligned} \rho &= \frac{E[H]}{E[G]} \\ &= \frac{\lambda}{\mu} \end{aligned} \quad (18)$$

と書ける。文献 [2] より  $E[W_n G_n]$  は、

$$\begin{aligned} E[W_n G_n] &= \int_0^\infty s E[W_n | G_n = s] f_{G_n}(s) ds \\ &= \frac{\rho}{\mu^2(1-\rho)} \end{aligned} \quad (19)$$

と書ける。したがって  $E[D_n G_n]$  は、

$$E[D_n G_n] = \frac{\rho}{\mu^2(1-\rho)} + \frac{1}{\mu\lambda} \quad (20)$$

と書ける。

次に AoI の時間平均の期待値  $E[A]$  は式 (4), 式 (5), 式 (16) を用いて,

$$E[A] = \lim_{T \rightarrow \infty} \frac{1}{T} \sum_{n=1}^l S_n \quad (21)$$

$$\begin{aligned} S_n &= \frac{1}{2} \{ (d_{n+1} - a_n)^2 - (d_n - a_n)^2 \} \\ &= \frac{1}{2} \{ \{ (d_{n+1} - a_{n+1}) + (a_{n+1} - a_n) \}^2 - (d_n - a_n)^2 \} \\ &= \frac{1}{2} \{ (D_{n+1} + G_n)^2 - (D_n)^2 \} \\ &= \frac{G_n^2}{2} + D_n G_n \end{aligned} \quad (22)$$

と書ける. したがって, 文献 [3] から適当な正則条件 (定常性, エルゴード性) の下,  $E[A]$  は,

$$E[A] = \frac{\frac{E[G^2]}{2} + E[D_n G_n]}{E[G]} \quad (23)$$

と書ける. ただし  $E[D_n G_n]$  は  $n$  によらないことに注意されたい. 式 (20) と  $E[G^2] = \frac{2}{\lambda^2}$  を用いて  $E[A]$  は,

$$\begin{aligned} E[A] &= \frac{1}{E[G]} \left( \frac{E[G^2]}{2} + E[D_n G_n] \right) \\ &= \lambda \left( \frac{1}{\lambda^2} + \frac{\rho}{\mu^2(1-\rho)} + \frac{1}{\mu\lambda} \right) \\ &= \frac{\lambda}{\mu^2} \left( \frac{\mu^2}{\lambda^2} + \frac{\rho}{1-\rho} + \frac{1}{\rho} \right) \\ &= \frac{\rho}{\mu} \left( \frac{1}{\rho} + \frac{1}{\rho^2} + \frac{\rho}{1-\rho} \right) \\ &= \left( 1 + \frac{1}{\rho} + \frac{\rho^2}{1-\rho} \right) E[H] \end{aligned} \quad (24)$$

と書ける. 式 (24) から,  $E[A]$  はシステムの混み具合  $\rho$  に依存する関数となることがわかる.

測定結果と期待値  $E[A]$  の比較を図 5 に示す. 図 5 より測定結果と期待値が一致していることがわかる.

## 4 まとめと今後の課題

本研究では, 待ち行列システムを用いて情報鮮度の時間平均のシミュレーションを行った. 結果はパラメータ  $\lambda$  により変化することが分かった. サンプル間隔と遅延時間に着目して考察を行いトレードオフの関係となることが実験的に確認できた.

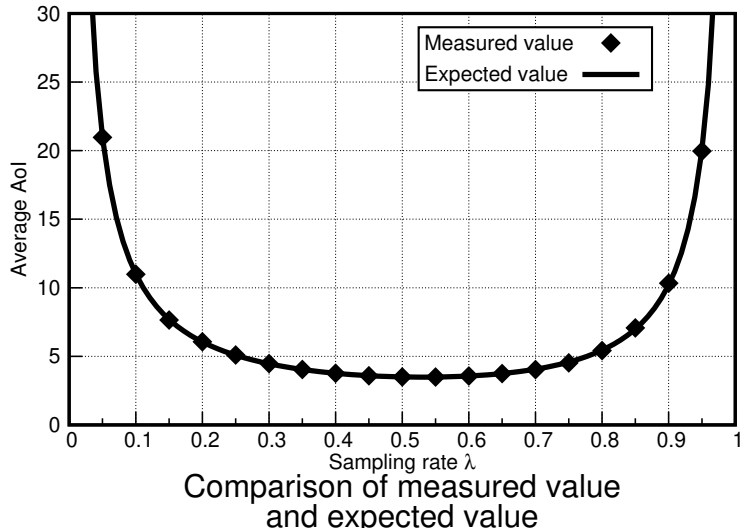


図5 測定結果と期待値の比較

今後の課題として、情報鮮度の時間平均を小さくするためバッファに制限を設けた場合について検証していきたいと考えている。具体的には、バッファを1つにして新しい情報がサンプリングされたら古い情報は破棄する方法や、バッファを無くしてバッファでの待ち時間を0にする方法が文献 [1] で提案されている。これらをシミュレーションしていきたい。

## 謝辞

本研究を行うにあたり、数多くの助言、指導して下さった指導教員西新幹彦准教授、また西新研究室の皆様に感謝の意を表す。

## 参考文献

- [1] Y. Inoue, H. Masuyama, T. Takine, and T. Tanaka, “A General Formula for the Stationary Distribution of the Age of Information and Its Application to Single-Server Queues,” arXiv:1804.06139v1, Apr. 2018.
- [2] S. Kaul, R. Yates, M. Gruteser, “Real-Time Status: How Often Should One Update?,” in Proc. of IEEE INFOCOM 2012, pp. 2731–2735, Mar. 2012.
- [3] 井上文彰, 滝根哲哉, 「Age of Information (AoI) 基本概念と研究動向」  
<http://www.ieice.org/ess/sita/forum/article/2018/201810111910.pdf>, 2019年1月閲覧.

## 付録 A ソースコード

### A.1 情報鮮度の時間平均を測定するプログラム

```
#define _CRT_SECURE_NO_WARNINGS

/*****
krnd.c -- Knuthの乱数発生法
*****/
#define MRND 100000000L
static int jrand;
static long ia[56]; /* ia[1..55] */

static void irn55(void)
{
    int i;
    long j;

    for (i = 1; i <= 24; i++) {
        j = ia[i] - ia[i + 31];
        if (j < 0) j += MRND;
        ia[i] = j;
    }
    for (i = 25; i <= 55; i++) {
        j = ia[i] - ia[i - 24];
        if (j < 0) j += MRND;
        ia[i] = j;
    }
}

void init_rnd(long seed)
{
    int i, ii;
    long k;

    ia[55] = seed;
    k = 1;
    for (i = 1; i <= 54; i++) {
        ii = (21 * i) % 55;
        ia[ii] = k;
        k = seed - k;
        if (k < 0) k += MRND;
        seed = ia[ii];
    }
    irn55(); irn55(); irn55(); /* warm up */
    jrand = 55;
}

long irnd(void) /* 0 <= irnd() < MRND */
{
    if (++jrand > 55) { irn55(); jrand = 1; }
    return ia[jrand];
}

double rnd(void) /* 0 <= rnd() < 1 */
{
    return (1.0 / MRND) * irnd();
}

/*****
#include <stdio.h>
#include <stdlib.h>
#include <math.h>

#define QUEUE_SIZE 10000
```

```

#define lambda_e 1.0

int main(void) {
    FILE *fp, *fp2;

    if ((fp = fopen("output3.txt", "w")) == NULL) {
        printf("[%d]open error\n", __LINE__);
        exit(1);
    }
    if ((fp2 = fopen("area_12.txt", "w")) == NULL) {
        printf("[%d]open error\n", __LINE__);
        exit(1);
    }

    fprintf(fp, "パラメータ λ v 平均値 t 台形の個数\n");

    init_rnd(12345);

    for (int i = 0; i < 20; i++){
        int k = 0, m = 0, c = 0;
        int count = 0; /* サービス終了の数 */
        double t = 0.0; /* 現在時刻 */
        double tv; /* 次の到着時刻 */
        double te = 0.0; /* 次のサービス終了時刻 */
        double Xv, Xe;
        double area = 0.0, d;
        double start, last; /* AoI 計測の開始と最終時刻 */
        double last_dep;

        double lambda_v = (i + 1) / 20.0; /* 到着レート */

        double queue[QUEUE_SIZE];
        int head = 1;
        queue[0] = 0;

        fprintf(fp, "%lf\t", lambda_v);
        printf("%f\t 現在時刻で実行中の動作\n", lambda_v);

        Xv = -1.0 / lambda_v * log(1.0 - rnd()); /* 最初の到着間隔 */
        tv = 0.0 + Xv; /* 最初の到着時刻 */

        while (t < 1.0e+6) {
            if (c >= 1 && tv >= te) { /* サービス終了処理 */
                t = te;
                c = c - 1;
                if (count < 1) {
                    start = t;
                }
            } else {
                fprintf(fp2, "%lf,%lf,%lf\n", queue[(head - 1) % QUEUE_SIZE], te, te - queue[(head - 1) % QUEUE_SIZE]);
                d = last_dep - queue[(head - 1) % QUEUE_SIZE];
                area += 1.0 / 2.0 * (pow(te - (queue[(head - 1) % QUEUE_SIZE]), 2) - pow(d, 2));
                last = t;
            }
            count++;
            last_dep = t;
            fprintf(fp2, "%lf,%lf,%lf\n", queue[head], te, te - queue[head]);

            head = (head + 1) % QUEUE_SIZE;
            if (c >= 1) {
                Xe = -1.0 / lambda_e * log(1.0 - rnd());
                te = t + Xe; /* 次のサービス終了時刻 */
            }
        } else { /* 到着処理 */
            t = tv;
            if (c == QUEUE_SIZE - 1) {
                printf("[%d] full!\n", __LINE__);
                exit(1);
            }
        }
    }
}

```

```

        queue[(head + c) % QUEUE_SIZE] = t;
        c = c + 1;
        Xv = -1.0 / lambda_v * log(1.0 - rnd());
        tv = t + Xv; /* 次の到着時刻 */
        if (c == 1) {
            Xe = -1.0 / lambda_e * log(1.0 - rnd());
            te = t + Xe; /* 次のサービス終了時刻 */
        }
    }
}
fprintf(fp2, "\t\t\t%lf", area);
fprintf(fp, "%lf\t%d\t%f\t%f\n", area / (last - start), count, start, last);
}

return(0);
}

```